

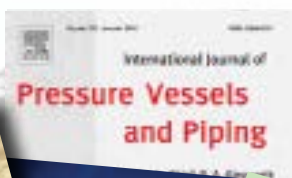
Ricerche Bibliografiche

Le ricerche bibliografiche, pubblicate con periodicità bimestrale, forniscono un approfondimento di un argomento specifico attraverso una guida alla bibliografia esistente. Strumento di diffusione delle attività di gestione documentale della Biblioteca IIS, le ricerche bibliografiche hanno l'obiettivo di promuovere la conoscenza della letteratura nazionale ed internazionale e di favorire l'aggiornamento professionale degli operatori che, a diverso livello, sono coinvolti nelle attività di fabbricazione mediante saldatura.

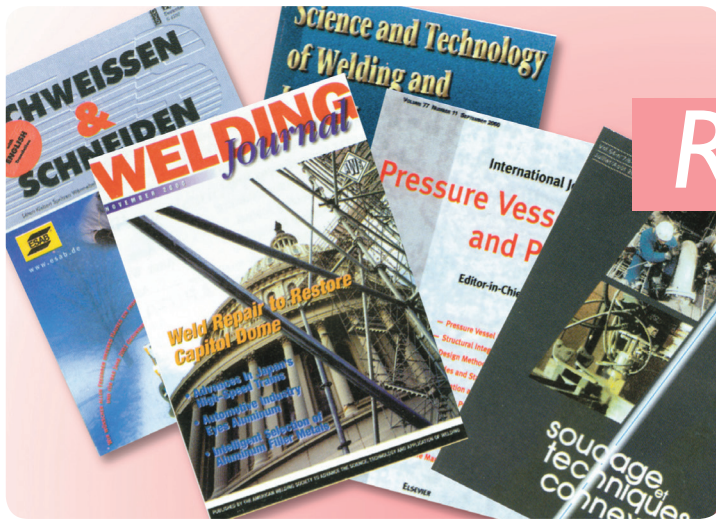
Volumi e articoli presentati nella rassegna fanno parte del patrimonio documentario della Biblioteca e derivano dall'acquisizione di pubblicazioni nazionali ed internazionali e dalla selezione delle più importanti riviste di settore.

Il catalogo della Biblioteca è consultabile su prenotazione.

Per info:
biblioteca.info@iis.it
+39 010 83 41475/505
www.iis.it



ISTITUTO ITALIANO DELLA SALDATURA
ENTE MORALE



Ricerche Bibliografiche

IIS-Data

biblioteca.info@iis.it; (+39) 010 83 41 475; www.iis.it

La Biblioteca offre servizi di ricerca bibliografica sulla base delle specifiche esigenze del cliente. La Biblioteca può fornire a tecnici, studenti ed a tutti coloro che operano nel settore della saldatura e delle tecnologie affini informazioni dettagliate ed aggiornate su argomenti specifici, permettendo - su appuntamento - la visione dei documenti e delle pubblicazioni, diversamente di difficile reperimento.

Leghe di nichel e resistenza alla corrosione

Resistenza alla corrosione ed alla tensocorrosione di acciai basso-legati ed acciai resistenti alla corrosione (CRAS) in condizioni rappresentative la stimolazione acida di LO PICCOLO E. et al., LA METALLURGIA ITALIANA, Gennaio 2008, pp. 13-18.

Acciai basso-legati; Acciai inossidabili austeno-ferritici; Acciai inossidabili martensitici; Acidi; Alta temperatura; CO₂; Composizione chimica; Condizioni di servizio; Corrosione; Effetti locali; Gas; Industria petrolifera; Leghe di nichel; Proprietà meccaniche; Prove di corrosione; Provini, saggi; Solfuri; Tensocorrosione.

Prove di corrosione ad alta pressione di CO₂ per i pozzi di stoccaggio di SCAPIN M. et al., LA METALLURGIA ITALIANA, Gennaio 2008, pp. 19-22.

Acciai al C; Acciai basso-legati; Acciai inossidabili austeno-ferritici; Acciai inossidabili martensitici; Alta pressione; Analisi chimica; CO₂; Composizione chimica; Corrosione; Industria petrolifera; Laboratori; Leghe di nichel; Metallografia; Piattaforma di trivellazione; Prove di corrosione; Prove meccaniche; Provini, saggi; Sistemi intelligenti; Studi teorici.

Specialty cored wires for wear and corrosion applications di MENON R. e WALLIN J., WELDING JOURNAL, Febbraio 2008, pp. 31-37.

Acciai inossidabili; Carburi; Corrosione; Cromo; Fili animati; Leghe di nichel; Materiali d'apporto; Microstruttura; Resistenza all'usura; Riporto duro; Saldatura con filo animato; Usura.

Emerging markets and trends in the use of stainless steels, nickel-based alloys, and titanium di HARTFORD T.L. et al., STAINLESS STEEL WORLD, Marzo 2008, pp. 35-41.

Acciai inossidabili; Condizioni di servizio; Corrosione; Industria automobilistica; Industria petrolifera; Ingegneria chimica; Leghe di nichel; Leghe di titanio; Scelta.

The welding characteristics of a new Ni-Cr-Mo alloy

designed to resist wet process phosphoric acid di CHIRIELEISON G.M. et al., WELDING JOURNAL, Maggio 2008, pp. 119s-123s.

Acidi; Agricoltura; Corrosione; Criccabilità a caldo; Criccabilità di ritiro; Fosforo; Hastelloy; Leghe di nichel; Parametri di processo; Proprietà meccaniche; Prove di saldabilità; Saldabilità; Saldatura con filo fusibile in gas protettivo; Saldatura TIG.

Aceros inoxidables y aleaciones de níquel. Saliendo del camino habitual di VAN DER MEE V. et al., SOLDADURA Y TECNOLOGIAS DE UNION, 109 2008, pp. 38-42.

Acciai inossidabili austenitici; Alta temperatura; Corrosione; Giunti saldati; Leghe di nichel; Materiali d'apporto; Materiali di consumo; Ossidazione; Proprietà meccaniche; Reazioni chimiche; Saldabilità; Saldatura TIG; Scelta; Shock termico.

Special features of reconditioning heavily loaded components with surface defects di MAKARENKO N. G. et al., WELDING INTERNATIONAL, Agosto 2008, pp. 527-530.

Acciai inossidabili; Alette; Analisi delle tensioni; Analisi elasto-plastica; Carico di fatica; Componenti; Condizioni superficiali; Corrosione; Criccabilità; Cricche di fatica; Difetti; Leghe di nichel; Manutenzione; Placcatura con saldatura; Preparazione superficiale; Ricarica con filo fusibile in gas protettivo; Riparazione; Turbine a gas.

Corrosion prevention and protection. Materials selection. Nickel and nickel alloys di NOTTEN G., STAINLESS STEEL WORLD, Settembre 2007, pp. 75-79.

Composizione chimica; Condizioni di servizio; Corrosione; Corrosione a lama di coltello; Corrosione intergranulare; Cricche intergranulari; Giunti saldati; Hastelloy; Inconel; Leghe di cobalto; Leghe di nichel; Monel; Nichel; Previsione; Scelta; Tensocorrosione.

Special manufacturing requirements for pressurized

Alloy 800H manifolds used in refineries: a case study di ROMMERSKIRCHEN I. et al., STAINLESS STEEL WORLD, Maggio 2008, pp. 56-61.

Acciai inossidabili austenitici; Alta temperatura; Condotte; Corrosione; Criccabilità; Incoloy; Industria petrolifera; Ingegneria chimica; Leghe di nichel; Materiali dissimili; Materiali resistenti allo scorrimento a caldo; Microstruttura; Ossidazione; Procedimenti combinati; Proprietà meccaniche; Saldatura a fascio elettronico; Saldatura longitudinale; Saldatura TIG; Saldature circonferenziali; Scorrimento a caldo; Tensocorrosione; Tubi.

Clad and lined pipeline materials di JOHNSRUD M. et al., STAINLESS STEEL WORLD, Giugno 2008, pp. 72-79.

Acciai al C-Mn; Acciai inossidabili austeno-ferritici; Acciai per condotte; Acciai placcati; Condotte; Controllo non distruttivo; Controllo ultrasonoro; Corrosione; Giunti saldati; Incoloy; Inconel; Leghe di nichel; Prove di corrosione.

Heat resistant alloys: selection and failure avoidance di WILSON J. et al., STAINLESS STEEL WORLD, Ottobre 2008, pp. 47-53.

Acciai inossidabili; Acciai inossidabili austenitici; Alta temperatura; Corrosione; Distorsione; Durata della vita; Inconel; Infragilimento; Infragilimento dovuto al metallo fuso; Ingegneria chimica; Leghe di nichel; Materiali resistenti alle alte temperature; Ossidazione; Progettazione, concezione; Proprietà termiche; Resistenza a fatica; Scelta; Scorrimento a caldo; Shock termico.

Advances in the NDT of dissimilar metal welds di HALLEY J. e MOLES M., MATERIALS EVALUATION, Dicembre 2008, pp. 1241-1245.

Acciai al C; Acciai al nichel; Acciai inossidabili austenitici; Ambiente marino; Blocchi di taratura; Condotte; Controllo non distruttivo; Controllo ultrasonoro; Controllo ultrasonoro "phased array"; Corrosione; Corrosione da acqua di mare; Difetti; Gas naturale; GPL; Inconel; Industria petrolifera; Ingegneria chimica; Leghe di nichel; Materiali dissimili; Placcatura; Saldatura ad arco sommerso; Saldatura con filo animato; Serbatoi di stoccaggio.

Sensitization and stress corrosion cracking of alloy 800H in high-temperature water di JANSSEN J.S., CORROSION, Febbraio 2009, pp. 67-78.

Acciai inossidabili; Acqua; Alta temperatura; Corrosione; Corrosione intergranulare; Criccabilità; Incoloy; Leghe di nichel; Propagazione delle cricche; Prove di corrosione; Tensocorrosione.

Performance of high-velocity oxy-fuel-sprayed chromium carbide-nickel chromium coating in an actual boiler environment of a thermal power plant di SIDHU T.S. et al., CORROSION, Settembre 2007, pp. 828-834.

Alta temperatura; Caldaie; Carburì; Centrali elettriche; Cinetica delle reazioni; Controllo visivo; Corrosione; Cromo; Leghe di nichel; Nichel; Rivestimenti spruzzati; Spruzzatura HVOF; Tubi per riscaldamento.

Erosion corrosion properties of HVOF coatings for municipal solid waste incinerator protection di GUILLEMANY J.M. et al., CORROSION ENGINEERING SCIENCE AND TECHNOLOGY, Gennaio-Marzo 2008,

pp. 38-45.

Corrosione; Costruzioni civili; Durezza; Erosione; Leghe di ferro; Leghe di nichel; Microstruttura; Proprietà meccaniche; Prove di corrosione; Rivestimenti spruzzati; Scambiatori di calore; Spruzzatura HVOF; Tubi.

Materials performance in simulated waste combustion environments di PETTERSSON R. et al., CORROSION ENGINEERING SCIENCE AND TECHNOLOGY, Aprile-Giugno 2008, pp. 123-128.

Acciai al C; Acciai inossidabili austenitici; Alogenuri; Alta temperatura; Centrali elettriche; Combustione; Corrosione; Elementi di combustibile; Gas combustibili; Inconel; Leghe di nichel; Manutenzione; Materiali d'apporto; Prove di corrosione; Ricarica con filo fusibile in gas protettivo.

Investigations on role of HVOF sprayed Co and Ni based coatings to combat hot corrosion di SIDHU T.S. et al., CORROSION ENGINEERING SCIENCE AND TECHNOLOGY, Ottobre-Dicembre 2008, pp. 335-342.

Alta temperatura; Caldo; Corrosione; Fattori di influenza; Leghe di nichel; Rivestimenti spruzzati; Spruzzatura HVOF; Stellite.

Development of high quality thermal spraying process by shielding control di SAKAKIBARA N. et al., SCIENCE AND TECHNOLOGY OF W AND J, Luglio-Agosto 2008, pp. 344-348.

Apparecchiature; Azoto; Corrosione; Gas di protezione; Leghe di nichel; Microstruttura; Porosità; Rivestimenti di ossido; Spruzzatura al plasma; Spruzzatura HVOF; Sviluppato; Ugelli.

Characterisation of detonation gun sprayed Cr3C2-25NiCr coatings on Ni and Fe based superalloys di KAMAL S., et al., SURFACE ENGINEERING, Luglio-Agosto 2009, pp. 287-294.

Carburì; Corrosione; Durezza; Leghe di nichel; Microstruttura; Porosità; Resistenza all'usura; Rivestimenti spruzzati; Spessore; Spruzzatura a detonazione.

Estudio de la oxidación a elevada temperatura de ocho aleaciones en atmósferas de combustión de biomasa di BELARGA-LABARI C. e FERNÁNDEZ-CARRASQUILLA J., REVISTA DE METALURGIA, Luglio-Agosto 2008, pp. 343-354.

Acciai inossidabili; Acciai inossidabili austenitici; Alta temperatura; Cloro; Combustione; Condizioni ambientali; Corrosione; Corrosione biologica; Costruzioni civili; Impianti; Inconel; Ingegneria chimica; Leghe di nichel; Ossidazione; Surriscaldatori; Tubi.

Cost-effective thermal spray coatings for the boiler industry di NAVA J.C. WELDING JOURNAL, Luglio 2009, pp. 38-41.

Acciai inossidabili; Caldaie; Corrosione; Costi; Forni; Leghe di nichel; Ossidi d'azoto; Rivestimenti spruzzati; Spruzzatura a caldo; Spruzzatura al plasma; Spruzzatura HVOF.

Zirconium in sulfuric acid, di HOLMES D.R., STAINLESS STEEL WORLD, Aprile 2009, pp. 33-37.

Acciai inossidabili; Acidi; Alta temperatura; Composti organici; Corrosione; Corrosione galvanica; Corrosione per vaiolatura; Criccabilità; Leghe di nichel; Microstruttura;

Ossidazione; Piastre tubiere; Prove di corrosione; Scambiatori di calore; Tensioni; Trattamento termico; Zirconio; Zolfo.

Tubi inossidabili duplex per scambiatori di calore di SALA G., LAMIERA, Giugno 2009, pp. 102-104.

Acciai inossidabili; Acciai inossidabili austeno-ferritici; Corrosione; Corrosione per vaiolatura; Effetti locali; Leghe di nichel; Piastre tubiere; Proprietà meccaniche; Scambiatori di calore.

Nickel alloys and newer super-austenitic 6Mo alloys contributions in the CPI and petrochemical industries di AGARWAL D.C. et al., STAINLESS STEEL WORLD, Maggio 2009, pp. 79-91.

Acciai inossidabili; Acciai inossidabili austenitici; Acidi; Alogenuri; Ambiente marino; Cloro; Composti organici; Condizioni ambientali; Corrosione; Corrosione da acqua di mare; Corrosione intergranulare; Corrosione per vaiolatura; Fosforo; Impianti; Industria petrolifera; Ingegneria chimica; Leghe di nichel; Zolfo.

Advanced super-austenitic stainless steel di SHOEMAKER L.E. et al., STAINLESS STEEL WORLD, Luglio-Agosto 2009, pp. 69-73.

Acciai inossidabili; Acciai inossidabili austenitici; Acciai inossidabili austeno-ferritici; Acqua di mare; Ambiente marino; Confronti; Corrosione; Corrosione interstiziale; Corrosione per vaiolatura; Costi; Criccabilità; Leghe di nichel; Proprietà meccaniche; Prove di corrosione; Tensocorrosione.

Metal dusting: relationship between alloy composition and degradation rate di HERMSE C.G.M. e VAN WORTEL J.C., CORROSION ENGINEERING SCIENCE AND TECHNOLOGY, Luglio-Settembre 2009 pp. 182-185.

Acciai inossidabili austenitici; Composizione chimica; Condizioni superficiali; Corrosione; Gas; Impianti; Inconel; Ingegneria chimica; Leghe di nichel; Materiali d'apporto; Monossido di carbonio; Ossidazione; Polveri sottili; Prove di corrosione.

Amine tower repair using temper bead welding di BORING M. e YU-PING Y., AUSTRALIAN WELDING JOURNAL, Luglio-Settembre 2008, pp. 20-22.

Acciai inossidabili; Ammine; Certificazione dei procedimenti; Corrosione; Criccabilità; Distribuzione della temperatura; Distribuzione delle tensioni; Durezza; Giunti saldati; Inconel; Ingegneria chimica; Leghe di nichel; Proprietà meccaniche; Prove di durezza; Prove meccaniche; Riparazione; Saldatura manuale con elettrodi rivestiti; Simulazione; Strutture a torre; Tensioni residue; Tensocorrosione; Trattamento termico dopo saldatura; Velocità di raffreddamento.

Corrosion of overlay weld cladding in waterwalls of waste fired CFB boiler di PETTERSSON R.F.A., et al., CORROSION ENGINEERING SCIENCE AND TECHNOLOGY, Luglio-Settembre 2009 pp. 218-226.

Acciai inossidabili; Acciai inossidabili austenitici; Alta temperatura; Caldaie; Corrosione; Corrosione per vaiolatura; Inconel; Leghe di nichel; Materiali d'apporto; Placcatura; Prove di corrosione; Saldatura con filo fusibile in gas protettivo; Spessore.

Microbiologically influenced corrosion of nuclear waste containers di KING F., CORROSION, Aprile 2009, pp. 233-251.

Acciai al C; Corrosione; Corrosione biologica; Fattori di sicurezza; Inconel; Industria nucleare; Leghe di nichel; Leghe di titanio; Modelli di calcolo; Previsione; Rame.

Corrosion testing of nickel and titanium alloys for nuclear waste disposition di REBAK R.B., CORROSION, Aprile 2009, pp. 252-271.

Alogenuri; Condizioni ambientali; Corrosione; Corrosione interstiziale; Criccabilità; Fattori di influenza; Industria nucleare; Leghe di nichel; Leghe di titanio; Nichel; Prove di corrosione; Temperatura; Tensocorrosione.

Corrosion issues related to disposal of high-level nuclear waste in the Yucca Mountain repository-peer reviewers' perspective di DUQUETTE D.J. et al., CORROSION, Aprile 2009, pp. 271-280.

Condizioni di servizio; Corrosione; Effetti locali; Impianti; Inconel; Industria nucleare; Leghe di nichel.

Effects of test methods on crevice corrosion repassivation potential measurements of alloy 22 di HE X. et al., CORROSION, Luglio 2009 pp. 449-460.

Acciai inossidabili; Acciai inossidabili austenitici; Alogenuri; Condizioni ambientali; Corrosione; Corrosione interstiziale; Fattori di influenza; Giunti saldati; Inconel; Leghe di nichel; Prove di corrosione.

Effect of braze clearance on localized corrosion of a superaustenitic stainless steel brazed with a Ni-based alloy di JAMES J.P. et al., CORROSION, Agosto 2009, pp. 511-526.

Acciai inossidabili austenitici; Alogenuri; Corrosione; Corrosione interstiziale; Distanza tra i componenti da brasare; Effetti locali; Fattori di influenza; Giunzioni con brasatura forte; Leghe di nichel; Materiale d'apporto per brasatura forte; Microstruttura; Prove di corrosione.

Condition for lead-induced corrosion of alloy 690 in an alkaline steam generator crevice solution di LU B.T. et al., CORROSION, Settembre 2009, pp. 601-610.

Corrosione; Corrosione interstiziale; Criccabilità; Inconel; Industria nucleare; Leghe di nichel; Prove di corrosione; Tensocorrosione; Turbine a vapore.

Study on morphology and corrosion resistance of electroless Ni-P coatings di RAHIMI A.R. et al., SURFACE ENGINEERING, Settembre-Ottobre 2009, pp. 367-371.

Acciai al C; Corrosione; Durezza; Fattori di influenza; Fosforo; Leghe di nichel; Metodi di rivestimento; Microscopia elettronica; Nichel; Placcatura elettrolitica; Proprietà meccaniche; Prove di corrosione; Spettroscopia; Trattamento termico.

Guide to the use of materials in waters di DAVIES M. e SCOTT P.J.B. NACE, 2003, pp. 596.

Acciai al C; Acciai basso-legati; Acciai inossidabili; Acqua; Acqua di mare; Ambiente marino; Calcestruzzo; Corrosione; Corrosione da acqua di mare; Ghisa; Industria petrolifera; Ingegneria chimica; Leghe d'alluminio; Leghe di nichel; Leghe di rame; Leghe di zirconio;

Legno; Materiali ceramici; Materie plastiche; Metalli ferrosi; Metalli non ferrosi; Sistemi di controllo.

Fils fourrés pour le soudage d'alliages résistant à la corrosion di 31-37, SOUDAGE ET TECHNIQUES CONNEXES, Marzo-Aprile 2009.

Acciai al nichel; Acciai inossidabili; Acciai inossidabili austenitici; Acciai inossidabili austeno-ferritici; Classificazione; Composizione chimica; Corrosione; Fili animati; Leghe di nichel; Materiali d'apporto; Materiali resistenti alle alte temperature; Norme; Placcatura; Proprietà meccaniche; Riparazione; Saldabilità; Saldatura con filo animato; Saldatura con filo fusibile in gas protettivo.

Formation of the fusion zone in plasma powder surfacing di ISAKAEV E.KH. e MORDYNSKII V.B., WELDING INTERNATIONAL, Luglio 2010, pp. 540-545.

Acciai al C; Acido solfidrico; Ciclo termico; CO₂; Condizioni di servizio; Corrosione; Durezza; Fattori di influenza; Leghe di nichel; Microstruttura; Parametri di processo; Polvere; Proprietà chimiche; Proprietà fisiche; Proprietà meccaniche; Ricarica al plasma; Solidificazione; Trattamento termico; Zona di fusione.

Changes in the structure and physical properties of composite metallic materials in a magnetic field di REKUS V.G., WELDING INTERNATIONAL, Ottobre 2010, pp. 799-802.

Acciai al C; Acciai da costruzione; Campo elettromagnetico; Corrosione; Giunti saldati; Leghe di nichel; Materiali compositi; Materiali dissimili; Microstruttura; Proprietà fisiche; Proprietà termiche; Saldatura a resistenza; Saldatura a resistenza a punti; Saldatura a scintillio.

Effect of molybdenum on the microstructure and corrosive year resistance of laser clad Ni-based coatings di ZHANG P. et al., CHINA WELDING, Gennaio-Marzo 2010, pp. 43-47.

Corrosione; Fattori di influenza; Lamiera; Leghe di nichel; Microstruttura; Molibdeno; Placcatura; Resistenza all'usura; Ricarica laser; Rivestimenti; Usura.

Hot corrosion behaviour of HVOF sprayed NiCrAlY-0.4 wt-%CeO₂ coatings on superalloys in aggressive environment at 900 °C di MAHESH R.A. et al., CORROSION ENGINEERING SCIENCE AND TECHNOLOGY, Aprile-Giugno 2010, pp. 142-149.

Alta temperatura; Caldo; Cerio; Corrosione; Diffrazione; Hastelloy; Incoloy; Inconel; Leghe di nichel; Microscopia elettronica; Microstruttura; Ossidi; Raggi x; Spruzzatura HVOF.

Localised corrosion of heat treated alloys Part I - repassivation potential of alloy 600 as function of solution chemistry and thermal aging di TORMOEN G. et al., CORROSION ENGINEERING SCIENCE AND TECHNOLOGY, Aprile-Giugno 2010 pp. 155-162.

Alogenuri; Cloro; Corrosione; Corrosione intergranulare; Corrosione interstiziale; Corrosione per vaiolatura; Durata della vita; Effetti locali; Fenomeno di invecchiamento; Inconel; Leghe di nichel; Microstruttura; Operazioni in servizio; Proprietà chimiche; Proprietà elettriche; Prove di corrosione.

Localised corrosion of heat-treated alloys Part II -

Predicting grain boundary microchemistry and its effect on repassivation potential di ANDERKO A. et al., CORROSION ENGINEERING SCIENCE AND TECHNOLOGY, Luglio-Settembre 2010, pp. 204-223.

Acciai inossidabili; Acciai inossidabili austenitici; Acidi; Alogenuri; Bordi dei grani; Calcolo; Cloro; Corrosione; Effetti locali; Fattori di influenza; Fenomeno di invecchiamento; Giunti saldati; Incoloy; Inconel; Leghe di nichel; Modelli di calcolo; Previsione; Proprietà chimiche; Proprietà termiche; Simulazione; Trattamento termico.

Evaluation of hot corrosion behaviour of HVOF sprayed Ni-5Al and NiCrAl coatings in coal fired boiler environment (Superfer 800 Incoloy 800H) di MAHESH R.A. et al., SURFACE ENGINEERING, Novembre-Dicembre 2010, pp. 413-421.

Aspetto; Bassa temperatura; Caldaie; Caldo; Centrali elettriche; Condizioni di servizio; Condizioni superficiali; Corrosione; Diffrazione; Incoloy; Leghe di nichel; Raggi x; Spruzzatura HVOF; Surriscaldatori; Tubi; Turbine a gas; Turbine a vapore; Valutazione.

Abrasion and corrosion resistance of new Ni-based coating deposited by HVOF thermal spray process (AISI 316L) di BENEGRÀ M. et al., SURFACE ENGINEERING, Novembre-Dicembre 2010, pp. 463-468.

Acciai inossidabili; Acciai inossidabili austenitici; Composto intermetallico; Corrosione; Leghe di nichel; Parametri di processo; Porosità; Proprietà meccaniche; Rugosità; Spruzzatura HVOF.

BuBi pipes can be reeled: installation of mechanical lined pipe by the reel-lay method di MAIR J. e BANSE J., STAINLESS STEEL WORLD, Dicembre 2010, pp. 43-47.

Acciai al C-Mn; Condotte; Corrosione; Industria petrolifera; Leghe di nichel; Materiali dissimili; Prove di corrosione; Prove meccaniche; Strutture di piattaforme marine.

Single-pass laser-GMA hybrid welding of 13.5 mm thick duplex stainless steel (Doc. IIW-2028-09) (1.4462 UNS S31803 2205) di WESTIN E.M. et al., WELDING IN THE WORLD, Gennaio-Febbraio 2011, pp. 39-49.

Acciai inossidabili; Acciai inossidabili austeno-ferritici; Apporto termico specifico; Austenite; Corrosione; Corrosione per vaiolatura; Grosso; Lamiera; Laser a fibre ottiche; Leghe di nichel; Materiali d'apporto; Microstruttura; Posizione in frontale; Preparazione dei giunti; Procedimenti combinati; Proprietà meccaniche; Prove di corrosione; Prove meccaniche; Saldabilità; Saldatura con filo fusibile in gas protettivo; Saldatura ibrida laser-arco; Saldatura laser; Zona fusa.

Oxidation behaviour of Ni-Cr based alloy containing Si during high temperature application in an oil burner - alloy 603 alloy 602 alloy 601 di ACKERMANN H. et al., CORROSION ENGINEERING SCIENCE AND TECHNOLOGY, 6 2010, pp. 468-474.

Alluminio; Alta temperatura; Bordi dei grani; Combustione; Corrosione; Cromo; Inclusioni; Inconel; Leghe di nichel; Metallografia; Microstruttura; Ossidazione; Silicio; Tubi.

A semianalytical thermal model for fiction stir welding di FERRO P. e BONOLLO F. METALLURGICAL AND MATERIALS TRANSACTIONS, Febbraio 2010, pp. 440-449.

Corrosione; Corrosione per vaiolatura; Diffrazione; Durezza; Fili e barre; Fosforo; Leghe di nichel; Metodi di rivestimento; Ottoni; Placcatura elettrolitica; Prove di corrosione; Raggi x; Resistenza all'usura; Spettroscopia.

Low-temperature carburization of the Ni-base superalloy IN718: improvements in surface hardness and crevice corrosion resistance di SHARGHI-MOSHTAGHIN R. et al., METALLURGICAL AND MATERIALS TRANSACTIONS, Agosto 2010, pp. 2022-2032.

Bassa temperatura; Carico di fatica; Corrosione; Corrosione interstiziale; Diagrammi TTT; Durezza; Inconel; Indurimento superficiale; Leghe di nichel; Metallurgia; Microstruttura; Ottimizzazione; Proprietà meccaniche; Prove di fatica; Prove di trazione; Prove meccaniche; Resistenza a fatica.

Metallurgy and corrosion in oil and gas production di HEIDERSBACH R. WILEY-VCH, 2011, 281 pagine.

Acciai al C; Acciai inossidabili; Acido solfidrico; Condotte; Corrosione; Corrosione galvanica; Corrosione intergranulare; Corrosione interstiziale; Corrosione per vaiolatura; Industria petrolifera; Leghe di nichel; Rivestimenti; Strutture di piattaforme marine.

High alloyed duplex and austenitic stainless steels. Aspects on welding and fabrication di PETTERSSON C.-O. et al., RIVISTA ITALIANA DELLA SALDATURA, Marzo-Aprile 2011, pp. 189-194.

Acciai inossidabili; Acciai inossidabili austenitici; Acciai inossidabili austeno-ferritici; Aggiunte di elementi di lega; Apporto termico specifico; Corrosione; Fattori di influenza; Freddo; Gas di protezione; Lavorazione dei metalli; Leghe di nichel; Materiali d'apporto; Preparazione dei giunti; Proprietà meccaniche; Saldabilità; Saldatura ad arco sommerso; Saldatura con filo fusibile in gas protettivo; Saldatura manuale con elettrodi rivestiti; Saldatura TIG; Supporto al rovescio.

Failure analysis of fire tube sleeve of heater treater (Incoloy 800) di SRIVASTAVA S.K. e KATARKI M.V., Journal of Failure Analysis and Prevention, Luglio-Agosto 2009, pp. 310-315.

Alta temperatura; Analisi delle tensioni; CO₂; Condizioni di servizio; Controllo visivo; Corrosione; Corrosione intergranulare; Cricche intergranulari; Durata della vita; Durezza; Incoloy; Industria petrolifera; Ingegneria chimica; Leghe di nichel; Metallografia; Microstruttura; Proprietà meccaniche; Prove di durezza; Rotture; Saldatura longitudinale; Saldature circonferenziali; Scambiatori di calore; Tensocorrosione; Tubi.

Niobium stabilized alloys in steam hydrocarbon reforming di SINGH R. MATERIALS PERFORMANCE, Dicembre 2009, pp. 54-58.

Acciai inossidabili; Acciai inossidabili austenitici; Alta pressione; Alta temperatura; Centrifughe; Corrosione; Impianti; Industria petrolifera; Ingegneria chimica; Leghe di nichel; Microstruttura; Niobio; Pezzi fusi; Tubi; Tubisteria.

Interpreting the evidence: elemental analysis in the SEM di SHIPLEY R.J. e STEVENSON M.E., Journal of Failure Analysis and Prevention, Maggio-Giugno 2011, pp. 274-281.

Acido solfidrico; Alluminio; Analisi chimica; Controllo non distruttivo; Corrosione; Cricche di fatica; Leghe di nichel; Metallografia; Microscopia elettronica; Pezzi fusi; Raggi x; Rotture; Rotture di fatica; Simulazione; Spettroscopia; Studi di casi; Turbine.

Review of the corrosion performance of selected canister materials for disposal of UK HLW and/or spent fuel di KING F. e PADOVANI C., CORROSION ENGINEERING SCIENCE AND TECHNOLOGY, Aprile-Giugno 2011, pp. 82-90.

Acciai al C; Acciai inossidabili; Ambiente esterno; Condizioni di servizio; Confronti; Corrosione; Impianti; Industria nucleare; Leghe di nichel; Leghe di titanio; Rame; Recensione, rassegna; Vantaggi, svantaggi, limitazioni.

Microstructural evolution and corrosion resistance of fusion welds on alloy CN3MN made with IN686 filler metal di STOCKDALE A. e DUPONT J.N. SCIENCE AND TECHNOLOGY OF W AND J, 5 2011, pp. 426-432.

Acciai inossidabili austenitici; Composizione chimica; Corrosione; Diluizione; Inconel; Leghe di nichel; Materiali d'apporto; Materiali dissimili; Microstruttura; Molibdeno; Parametri di processo; Pezzi fusi; Saldabilità; Saldatura TIG; Segregazione; Trattamento termico dopo saldatura.

Corrosion in distillation units for the recovery of ethanol: a review (AISI 316, Hastelloy C22) di BLACK A. e RISLUND E., STAINLESS STEEL WORLD, Maggio 2011, pp. 53-58.

Acciai inossidabili; Acciai inossidabili austenitici; Acciai inossidabili austeno-ferritici; Analisi delle tensioni; Corrosione; Corrosione interstiziale; Corrosione per vaiolatura; Criccabilità; Effetti locali; Giunti saldati; Hastelloy; Impianti; Ingegneria chimica; Leghe di nichel; Rotture; Tensocorrosione; Tubi; ZTA.

High temperature oxidation studies on HVOF sprayed NiCrAl coatings on superalloys di MAHESH R.A. et al., SURFACE ENGINEERING, Settembre-Ottobre 2011, pp. 332-339.

Alta temperatura; Condizioni di servizio; Corrosione; Diffrazione; Leghe di nichel; Metallografia; Microscopia elettronica; Microstruttura; Ossidazione; Raggi x; Spruzzatura HVOF; Turbine a gas.

Effects of 7.5 vol.% water vapour on oxidation of nickel based alloy between 900 and 1100 °C di ROLLAND R. et al., CORROSION ENGINEERING SCIENCE AND TECHNOLOGY, 5 2011, pp. 634-641.

Acqua; Alta temperatura; Corrosione; Fattori di influenza; Inconel; Leghe di nichel; Microstruttura; Ossidazione; Vapori.

Failure of welded dilution steam coil made of alloy 800HT di SHALABY H.M. et al., CORROSION ENGINEERING SCIENCE AND TECHNOLOGY, 6 2011, pp. 685-691.

Alta temperatura; Analisi chimica; Corrosione; Corrosione intergranulare; Durezza; Forni; Frattografia; Giunti saldati; Impianti; Incoloy; Infragilimento; Ingegneria chimica; Leghe di nichel; Metallografia; Microstruttura; Misura; Ossidazione; Proprietà meccaniche; Saldatura manuale con elettrodi rivestiti; Zolfo; Zona fusa; ZTA.

Weld cladding: wire properties, welding parameters and corrosion resistance of selected alloy di WOLF M. et al., STAINLESS STEEL WORLD, Ottobre 2011, pp. 55-61.

Acciai inossidabili; Corrosione; Leghe di nichel; Materiali d'apporto; Parametri di processo; Placcatura; Prove di corrosione; Saldatura ad arco sommerso; Saldatura ad elettroscoria; Saldatura con filo fusibile in gas protettivo; Saldatura TIG.

Accelerated corrosion of a boiler chimney: causes and preventive steps (SS304) di CHANDRA K. et al., Journal of Failure Analysis and Prevention, Settembre-Ottobre 2011, pp. 466-472.

Acciai basso-legati; Acciai dolci a basso carbonio; Acciai inossidabili; Acciai inossidabili austenitici; Acidi; Caldaie; Camini; Corrosione; Gas combustibili; Giunti saldati; Inconel; Leghe di nichel; Microstruttura.

Comparative study on corrosion behaviour of plasma sprayed Ni-3Ti and Ni-3Al coatings di VERDIAN M.M. SURFACE ENGINEERING, 7 2011, pp. 504-508.

Acciai al C; Alta temperatura; Confronti; Corrosione; Leghe di nichel; Microstruttura; Spruzzatura al plasma; Spruzzatura HVOF; Studi teorici.

Corrosion behaviour of zinc-nickel alloy coatings electrodeposited in additive free chloride baths di KHAN R. et al., CORROSION ENGINEERING SCIENCE AND TECHNOLOGY, 7 2011, pp. 755-761.

Acciai dolci a basso carbonio; Corrosione; Corrosione galvanica; Leghe di nichel; Microstruttura; Prove di corrosione; Rivestimenti; Simulazione.

Some developments in slow strain rate testing for stress corrosion cracking di POULSON B. et al., CORROSION ENGINEERING SCIENCE AND TECHNOLOGY, Luglio-Settembre 2012, pp. 209-222.

Acciai al Cr Mo a bassa lega; Acciai al Cr Mo ad alta lega; Acciai dolci a basso carbonio; Acciai inossidabili; Acciai inossidabili austenitici; Alta pressione; Alta temperatura; Ammoniaca; Corrosione; Criccabilità; Flusso termico; Giunti saldati; Inconel; Leghe di nichel; Materiali resistenti allo scorrimento a caldo; Serbatoi di stoccaggio; Simulazione; Sviluppo; Tensocorrosione; Turbine a vapore; Velocità di deformazione.

Corrosion monitoring techniques for detection of crack initiation under simulated light water reactor conditions di RITTER S. et al., CORROSION ENGINEERING SCIENCE AND TECHNOLOGY, Ottobre-Dicembre 2012, pp. 251-264.

Acciai inossidabili; Acciai inossidabili austenitici; Alta temperatura; Altri metodi di controllo non distruttivo; Controllo non distruttivo; Corrosione; Emissione acustica; Industria nucleare; Innesco delle cricche; Leghe di nichel; Recipienti in pressione; Tubisteria.

Influence of surface finishing on the oxidation behaviour of VPS MCrAlY coatings di FOSSATI A. et al., Journal of Thermal Spray Technology, Marzo-Aprile 2012 pp. 324-324.

Alta temperatura; Condizioni superficiali; Corrosione; Fattori di influenza; Leghe di nichel; Materiali con strut-

tura monocristallina; Misura; Ossidazione; Rugosità; Spruzzatura al plasma; Vuoto.

Aspectos metalúrgicos de revestimientos dissimilares com a superliga à base de níquel inconel 625 (ASTM A516 Gr. 60) di SILVA C.C. et al., SOLDAGEM & INSPECAO, Marzo 2012, pp. 251-263.

Acciai per condotte; Condotte; Corrosione; Inconel; Industria petrolifera; Interfaccia; Leghe di nichel; Microstruttura; Ricarica con saldatura TIG; Saldatura TIG; Zona di fusione.

Explicit spread sheet method for predicting internal corrosion in two galvanically coupled long pipes di SONG F.M. e NORDQUIST A.L., CORROSION ENGINEERING SCIENCE AND TECHNOLOGY, Aprile-Giugno 2013 pp. 87-97.

Acciai al C; Acciai per condotte; Acciai placcati; Acqua; Condotte; Corrosione; Corrosione galvanica; Inconel; Leghe di nichel; Materiali dissimili; Modelli di calcolo; Placcatura; Previsione; Simulazione; Titanio.

Evaluation of the WRC 1992 diagram using computational thermodynamics - Weldability of stainless steels and nickel-base alloys IX-H-755-12 (Doc. IIW-2342) di WESSMAN S., WELDING IN THE WORLD, Maggio-Giugno 2013 pp. 305-313.

Acciai inossidabili; Acciai inossidabili austeno-ferritici; Corrosione; Criccabilità a caldo; Diagrammi; Fattori di influenza; Ferrite; Leghe di nichel; Misura; Numero di ferrite; Proprietà meccaniche; Saldabilità; Simulazione; Termodinamica.

Effect of chromium content on stress corrosion cracking susceptibility of shielded metal arc weld metals for 600 type alloy in high-temperature pressurised pure water (ENiCrFe-3/ERNiCr-3) di NISHIKAWA S. et al., WELDING INTERNATIONAL, Giugno 2013, pp. 450-459.

Aggiunte di Cr; Alta temperatura; Corrosione; Corrosione intergranulare; Corrosione interstiziale; Criccabilità; Durezza; Fattori di influenza; Inconel; Industria nucleare; Leghe di nichel; Metodi di protezione; Microstruttura; Proprietà meccaniche; Prove di trazione; Recipienti in pressione; Saldatura TIG; Tensocorrosione.

High-temperature corrosion behavior of alloy 600 and 622 weld claddings and coextruded coatings (SA213-T11) di DUPONT J.N. et al., WELDING JOURNAL, Luglio 2013, pp. 218s-224s.

Acciai al Cr Mo a bassa lega; Alta temperatura; Corrosione; Inconel; Leghe di nichel; Materiali d'apporto; Placcatura; Prove di corrosione; Saldatura ad esplosione; Segregazione.

Performance of detonation gun-sprayed Ni-20Cr coating on ASTM A213 TP347H steel in a boiler environment di KAUSHAL G. et al., Journal of Thermal Spray Technology, Settembre-Ottobre 2012, pp. 975-986.

Acciai inossidabili; Acciai inossidabili austenitici; Alta temperatura; Caldaie; Corrosione; Leghe di nichel; Microstruttura; Ossidazione; Resistenza all'usura; Spruzzatura a detonazione.

Hot corrosion of nanostructured Cr/Co-Al coatings

di RAHMAN A. et al., SURFACE ENGINEERING, Luglio-Agosto 2012, pp. 285-293.
Corrosione; Inconel; Leghe di nichel; Microstruttura; Turbine a gas.

Laser clad corrosion protection for mild and harsh environments di MAHMOOD K. et al., SURFACE ENGINEERING, 8 2012, pp. 576-584.
Acciai dolci a basso carbonio; Corrosione; Corrosione per vaiolatura; Inconel; Leghe di nichel; Microstruttura; Placcatura; Saldatura laser.

Corrosion-resistant pipe made by high-density infrared fusion cladding di GHILDYAL A. MATERIALS PERFORMANCE, Dicembre 2013, pp. 51-55.
Acciai al C; Acciai inossidabili; Acciai per condotte; Acido solfidrico; CO₂; Condotte; Corrosione; Industria petrolifera; Leghe d'alluminio; Leghe di nichel; Leghe di rame; Materiali dissimili; Microstruttura; Placcatura; Tubi.

Enhancement of corrosion resistance of nickel based superalloys by laser surface melting di SAMANTAROY P.K. et al., SURFACE ENGINEERING, 7 2013, pp. 522-530.
Corrosione; Corrosione per vaiolatura; Diffrazione; Fusione superficiale; Inconel; Leghe di nichel; Microstruttura; Raggi x; Ricarica laser.

Welding of nickel-based alloys for energy applications di DUPONT J.N., WELDING JOURNAL, Febbraio 2014, pp. 31s-45s.
Alta temperatura; Centrali elettriche; Corrosione; Industria nucleare; Leghe di nichel; Microstruttura; Placcatura; Saldabilità; Scelta.

Weldability and weld performance of candidate austenitic alloys for advanced ultrasupercritical fossil power plants di SIEFERT J. A. e DAVID S. A., SCIENCE AND TECHNOLOGY OF W AND J, 4 2014, pp. 271-294.
Acciai inossidabili; Acciai inossidabili austenitici; Alta temperatura; Centrali elettriche; Condizioni di servizio; Corrosione; Cricche di liquazione; Distensione delle tensioni; Inconel; Leghe di nichel; Materiali dissimili; Numero di ferrite; Saldabilità; Saldatura manuale con elettrodi rivestiti; Saldatura TIG; Solidificazione; Zona fusa.

An assessment of microstructure, mechanical properties and corrosion resistance of dissimilar welds between Inconel 718 and 310S austenitic stainless steel (Filler materials Inconel 625, Inconel 82, AISI 310) di MORTEZAIE A. e SHAMANIAN M., THE INTERNATIONAL JOURNAL OF PVP, 116/2014, pp. 37-46.
Acciai inossidabili; Acciai inossidabili austenitici; Corrosione; Leghe di nichel; Materiali d'apporto; Materiali dissimili; Meccanica della frattura; Microstruttura; Proprietà meccaniche; Prove di rottura dinamica; Saldatura TIG.

Analisi del processo di "pack chromising" su superleghe di Ni per turbine a gas di BOZZA F. et al., LA METALLURGIA ITALIANA, Marzo 2013, pp. 13-21.
Alta temperatura; Corrosione; Leghe di nichel; Microstruttura; Rivestimenti; Trattamento termico; Turbine a gas.

Synergistic effect of Ni and N on improvement of pitting corrosion resistance of high nitrogen stainless steels di HA H.-Y. et al., CORROSION ENGINEERING SCIENCE AND TECHNOLOGY, N. 2/2014, pp. 82-86.
Acciai inossidabili; Acciai inossidabili austenitici; Azoto; Corrosione; Corrosione per vaiolatura; Fattori di influenza; Leghe di nichel; Nichel.

Effect of thermal aging on the corrosion and microstructure of friction-stir welded alloy 22 di JASTHI B.K. et al., METALLURGICAL AND MATERIALS TRANSACTIONS, Settembre 2012, pp. 3192-3201.
Corrosione; Corrosione intergranulare; Fenomeno di invecchiamento; Inconel; Leghe di nichel; Metalli non ferrosi; Microscopia; Microscopia elettronica; Microstruttura; Ottica; Saldatura ad attrito con utensile in movimento; Utensili FSW.

Influence of plasma coatings on Inconel 617 for gas turbine applications di ADAM KHAN M. et al., SURFACE ENGINEERING, 9 2014, pp. 656-661.
Corrosione; Diffrazione; Inconel; Leghe di nichel; Metalli non ferrosi; Metodi di rivestimento; Microscopia elettronica; Microstruttura; Ossidi; Raggi x; Rivestimenti; Spruzzatura al plasma; Turbine a gas.

Characterisation and corrosion performance of HVOF sprayed Ni-10 wt-%Ti coatings (1045 steel / AISI 304) di VERDIAN M.M., SURFACE ENGINEERING, 9 2014, pp. 670-674.
Acciai al C; Acciai inossidabili; Acciai inossidabili austenitici; Corrosione; Diffrazione; Leghe di nichel; Metalli non ferrosi; Microscopia elettronica; Microstruttura; Proprietà meccaniche; Raggi x; Spruzzatura a caldo;

The corrosion performance of metals for the marine environment: a basic guide (EFC 63) di FRANCIS R. e POWELL C., European Federation of Corrosion EFC 2012.
Acciai; Acciai inossidabili; Ambiente marino; Corrosione; Corrosione da acqua di mare; Corrosione galvanica; EFC; Leghe d'alluminio; Leghe di nichel; Leghe di rame; Leghe di titanio; Proprietà meccaniche.

Corrosion fatigue of Incoloy 825 flare gas line bellows of expansion joints di ELSHAWESH F. et al., Journal of Failure Analysis and Prevention, Gennaio-Febbraio 2015, pp. 7-14.
Acido solfidrico; Ambiente marino; Corrosione; Corrosione per vaiolatura; Criccabilità; Cricche di fatica; Incoloy; Ingegneria chimica; Leghe di nichel; Sali; Soffietto; Tensocorrosione; Tubi.

A new method for corrosion fatigue testing of weld cladding waterwall coatings di STOCKDALE A. W. et al., WELDING JOURNAL, Febbraio 2015, pp. 44s-52s.
Caldaie; Combustione; Corrosione; Criccabilità; Cricche di fatica; Impianti; Leghe di nichel; Placcatura; Prove di corrosione; Scambiatori di calore; Tensocorrosione.

Effetto del trattamento termico su lamiera placcate con nichel di PAUL L. e PROTHER C., RIVISTA ITALIANA DELLA SALDATURA, Luglio-Agosto 2015, pp. 487-498.

Corrosione; Effetti locali; Lamiere; Leghe di nichel; Placcatura; Proprietà meccaniche; Saldatura ad esplosione; Trattamento termico.

Caratterizzazione sperimentale del processo di placcatura ad elettroscoria (ESSC) con tecnica multi strip tipo Twin di SABATTOLI L. et al., RIVISTA ITALIANA DELLA SALDATURA, Settembre-Ottobre 2015, pp. 645-658.

Acciai al C; Corrosione; Elettrodi a nastro; Inconel; Ingegneria chimica; Leghe di nichel; Ottimizzazione; Recipienti in pressione; Ricarica ad elettroscoria.

Determination of failure criteria of mechanically and corrosively loaded brazed joints of sheets made of stainless chromium-nickel steel (1.4301) di HOLLANDER U. et al., Welding and Cutting, Settembre-Ottobre 2015, pp. 280-288.

Acciai inossidabili; Acciai inossidabili austenitici; Azoto; Brasatura forte; Corrosione; Fenomeno di invecchiamen-

to; Giunzioni con brasatura forte; Idrogeno; Lamierini; Leghe di nichel; Proprietà meccaniche; Prove di corrosione; Prove meccaniche; Rotture; Scambiatori di calore; Vuoto.

The role of alloying elements on the crevice corrosion behavior of Ni-Cr-Mo alloys. (UNS N06022, UNS N06625, UNS10362) di EBRAHIMI N. et al., CORROSION, Dicembre 2015, pp. 1441-1451.

Acciai zincati; Corrosione; Corrosione interstiziale; Hastelloy; Inconel; Leghe di nichel; Materiali resistenti alle alte temperature.

Electrochemical corrosion performance of mechanically polished alloy 690TT at high-temperature water (200°C). (UNS N06690) di ARJMAND F. e ZHANG L., CORROSION, Dicembre 2015 pp. 1481-1489.

Acqua; Alta temperatura; Corrosione; Inconel; Leghe di nichel; Microscopia.

ELENCO DELLE RIVISTE PRESENTI IN ARCHIVIO

ACCIAIO
ALLUMINIO
ALLUMINIO E LEGHE
ALLUMINIO MAGAZINE
AUSTRALASIAN WELDING JOURNAL
AUTOMATIC WELDING
BID-ISIM
BIULETYN ISG
BOLLETTINO TECNICO FINSIDER
CHINA WELDING
CINDE JOURNAL
COSTRUZIONI METALLICHE
CZECHOSLOVA KHEAVY INDUSTRY
DEFORMAZIONE
DER PRAKTIKER
FWP JOURNAL
HITSAUSTEKNIKKA
IL GIORNALE DELLE PROVE NON DISTRUTTIVE
IL GIORNALE DELL'OFFICINA
INGEGNERIA FERROVIARIA
INOSSIDABILE
INSIGHT
JOINING OF MATERIALS
JOURNAL OF BRIDGE ENGINEERING
LA MECCANICA ITALIANA
LA METALLURGIA ITALIANA
L'ACCIAIO INOSSIDABILE
LAMIERA
LASTECHNIEK
L'INDUSTRIA MECCANICA
MATERIAL PRUFUNG
MATERIALS EVALUATION
MATERIALS PERFORMANCE
METALLURGICAL TRANSACTIONS
METALURGIA & MATERIAIS
NDT & E INTERNATIONAL
PCB MAGAZINE
PLASTIC PIPES FITTINGS
PROTECTIVE COATINGS EUROPE
PRZEGLAD SPAWALNICTWA
QUADERNI PIGNONE
REVISTA DE METALURGIA
REVISTA DE SOLDADURA
REVUE DE LA SOUDURE LASTIJDSCHRIFT
REVUE DE METALLURGIE CIT
REVUE DE METALLURGIE MES
RIVISTA DI MECCANICA
RIVISTA DI MECCANICA OGGI
RIVISTA ITALIANA DELLA SALDATURA
SCHWEISSEN UND SCHNEIDEN
SCIENCE AND TECHNOLOGY OF WELDING AND JOINING
SOLDADURA E CONSTRUCAO METALICA
SOLDADURA Y TECNOLOGIAS DE UNION
SOLDAGEM & ISPEAO
SOLDAGEM & MATERIAIS
SOLDERING & SURFACE MOUNT TECHNOLOGY (VEDI BRAZING AND SOLDERING)
SOUDAGE ET TECHNIQUES CONNEXES
STAHLBAU
STAINLESS STEEL WORLD
STEEL CONSTRUCTION
STEEL RESEARCH
SUDURA
SURFACE ENGINEERING
SVETSEN
TECHNICA
THE INTERNATIONAL JOURNAL OF PVP
THE PATON WELDING JOURNAL
THE TWI JOURNAL
TRANSACTIONS OF JWRI
TRANSACTIONS OF JWS
TRANSACTIONS OF NRIM
ULTRASONICS
WELDING AND CUTTING
WELDING AND METAL FABRICATION
WELDING DESIGN AND FABRICATION
WELDING IN THE WORLD
WELDING INTERNATIONAL
WELDING JOURNAL
WELDING PRODUCTION
WELDING REVIEW
WRC BULLETIN
WRI JOURNAL (INDIAN WELDING SOCIETY IWS)
ZIS

La Biblioteca ricorda che tutto il materiale bibliografico è a disposizione degli appartenenti all'IIS Club presso la sede di Genova. Gli interessati possono richiedere i file degli articoli individuati a prezzi agevolati (sconto 20% IIS Club).



**Istituto Italiano della Saldatura
Biblioteca**

Lungobisagno Istria, 15
16141 Genova, Italy
biblioteca.info@iis.it
+39 010 8341475/505
www.iis.it



ISTITUTO ITALIANO DELLA SALDATURA
ENTE MORALE

